Парамонов Максим Евгеньевич

# **Оптимизация сверхпроводниковых туннельных элементов и определение их параметров**

Специальность 1.3.4 – Радиофизика

# **АВТОРЕФЕРАТ**

диссертации на соискание учёной степени кандидата физико-математических наук

Работа выполнена в Федеральном государственном бюджетном учреждении науки Институте радиотехники и электроники им. В.А.Котельникова Российской академии наук (ИРЭ им. В.А. Котельникова РАН), г. Москва

Научный руководитель: Кошелец Валерий Павлович, доктор физико-

математических наук, профессор

Официальные оппоненты: Рязанов Валерий Владимирович доктор

физико-математических наук, профессор, заведующий лабораторией сверхпроводниковой наноэлектроники Московского физикотехнического института (национального

исследовательского университета)

Корнев Виктор Константинович доктор физико-математических наук, профессор кафедры атомной физики, физики плазмы и микроэлектроники физического факультета Московского государственного университета

имени М.В. Ломоносова

Ведущая организация: Федеральное государственное бюджетное

образовательное учреждение высшего

образования Московский педагогический

государственный университет

Защита диссертации состоится «3» октября 2025 г., в 11:00 на заседании диссертационного совета 24.1.111.02 на базе ФГБУН Института радиотехники и электроники им. В.А. Котельникова Российской академии наук (ИРЭ им. В.А. Котельникова РАН), расположенном по адресу: 125009, Москва, ул. Моховая, д. 11, корп. 7.

С диссертацией можно ознакомиться в библиотеке и на сайте ИРЭ им. В.А. Котельникова PAH: <a href="http://www.cplire.ru/rus/dissertations/Paramonov/index.html">http://www.cplire.ru/rus/dissertations/Paramonov/index.html</a>

Ученый секретарь диссертационного совета

24.1.111.02

доктор физико-математических наук,

профессор РАН



Кузьмин Лев Викторович

#### Общая характеристика работы

Актуальность исследования. Большой объем информации об объектах и космическом пространстве процессах В окружающем несёт в себе инфракрасная (ИК) область спектра. В эту область субмиллиметровых длин волн попадает максимум интенсивности теплового излучения относительно холодных космических объектов с температурой от 3 до 3000 К, таких как звезды на начальных стадиях звездообразования, погруженные в протозвездные газово-пылевые облака; межзвездные пыль и газ, а также планеты и малые тела Солнечной системы. Космическая пыль способна поглощать и впоследствии переизлучать энергию проходящего через нее излучения в дальнем ИКдиапазоне. Смесители на основе туннельных переходов сверхпроводник – (CИC)наиболее изолятор - сверхпроводник являются чувствительными входными элементами для когерентных приемников на частотах от 0.1 до 1.2 ТГц, их шумовая температура ограничена только квантовым пределом. В настоящее время СИС - приемники используются в качестве устройств на большинстве как наземных, так и космических радиотелескопов во всем мире. Для реализации предельных параметров СИС-приемников на субТГц и ТГц частотах необходимы туннельные переходы с очень высокой прозрачностью туннельного барьера, что напрямую зависит от используемых материалов технологии изготовления. Существенную роль спектральные характеристики сверхпроводящего интегрального генератора гетеродина (расположенного на одном чипе со смесителем) – ширина линии генерации и возможность непрерывной перестройки его частоты в широком диапазоне. Создание И исследование типов новых сверхпроводящих генераторов, помимо радиотехнических приложений, позволит найти им применение в криогенной квантовой электронике, тем самым последнюю на новый уровень.

**Целью диссертационной работы** является: оптимизация конструкции сверхпроводниковых интегральных структур, определение их электрических

параметров и развитие измерительных методик для исследования и совершенствования устройств сверхпроводниковой электроники.

Для достижения этой цели решались следующие основные задачи:

- 1. Получение количественных оценок основных параметров барьеров сверхпроводящих туннельных структур СИС различных типов; определение зависимости основных параметров барьера от плотности туннельного тока перехода.
- 2. Реализация непрерывной перестройки частоты в сверхпроводящем генераторе гетеродина за счет подавления Фиске резонансов в распределенном джозефсоновском переходе.
- 3. Разработка, изготовление и исследование спектральных характеристик принципиально нового джозефсоновского полуфлаксонного генератора с инжекторами, основанного на создании разрыва фазы внутри перехода.

**Научная новизна** представленной диссертационной работы заключается в следующем:

- 1) Проведенное исследование по оценке основных параметров сверхпроводящих туннельных структур на основе ниобия позволило объяснить резкое снижение параметра качества  $R_j/R_n$  для барьеров Nb/Al-AlO<sub>x</sub>/Nb по сравнению с Nb/Al-AlN/Nb и Nb/Al-AlN/NbN при плотности тока  $J > 15 \text{ кA/cm}^2$ .
- 2) Исследования зависимостей основных параметров барьера от плотности туннельного тока переходов Nb/Al-AlO<sub>x</sub>/Nb, Nb/Al-AlN/Nb и Nb/Al-AlN/NbN экспериментально подтвердили линейность (в полулогарифмическом масштабе) данных характеристик в диапазоне плотностей туннельного тока от  $0.1 \ \text{до} \ 30 \ \text{кA/cm}^2$ .
- 3) Полученная зависимость средней высоты туннельного барьера от удельного сопротивления барьера для переходов Nb/Al-AlN/Nb продемонстрировала значительное снижение высоты барьера с ростом плотности туннельного тока (увеличение параметра  $R_nS$ ) связанная, по видимому, с эффектом диффузии азота из барьерного слоя в ниобиевый электрод.

4) Впервые исследованы спектральные характеристики сверхпроводящего генератора, основанного на разрыве джозефсоновской фазы и перевороте полуфлаксона, который образуется на месте разрыва фазы.

### Теоретическая и практическая значимость работы

- 1) Полученные зависимости основных параметров барьеров Nb/Al-AlO<sub>x</sub>/Nb, Nb/Al-AlN/Nb и Nb/Al-AlN/NbN от плотности туннельного тока перехода позволяют проектировать и изготавливать высококачественные смесительные элементы для когерентных приемников на частотах от 0.1 до 1.2 ТГц.
- 2) Конструктивное усовершенствование криогенного генератора гетеродина позволило реализовать непрерывную перестройку частоты в диапазоне 250 450 ГГц, который является резонансным для традиционных РДП-генераторов на основе структуры Nb/Al-AlO<sub>x</sub>/Nb. Разработанное решение обеспечивает узкую ширину линии генерации для реализации режима фазовой стабилизации, что критически важно для интеграции генератора в состав спектрометрического оборудования высокого разрешения, где стабильность и точность частоты выступают ключевыми требованиями.
- Разработанный сверхпроводящий полуфлаксонный И созданный генератор с инжекторами позволяет получать стабильное узкополосное излучение в диапазоне 100 - 300 ГГц, частота этого излучения может быть стабилизирована с помощью системы фазовой автоподстройки. Данный генератор может быть использован в качестве стабильного опорного источника микроволнового излучения ДЛЯ сверхпроводящих квантовых схем взаимодействия с кубитами.

#### Методология и методы исследования

Для изготовления экспериментальных образов с туннельными структурами и СВЧ - интегральных схем использовались методы тонкопленочных технологий, включающих в себя: магнетронное распыление, контактную фотолитографию, прямую электронную литографию, ионное и плазмохимическое травление, анодирование. Экспериментальные измерения

производились при температуре жидкого гелия в транспортном сосуде Дьюара, а также в заливном криостате с помощью специально разработанного сотрудниками ИРЭ им. В.А. Котельникова РАН научного экспериментального комплекса. Расчет геометрии сверхпроводящих элементов, СВЧ - согласующих структур и проектирование фотошаблонов для контактной фотолитографии осуществлялся средствами специализированного программного обеспечения для ПК. Для определения основных параметров туннельных СИС – переходов использовались методы численного моделирования и расчеты в соответствии с теориями Симмонса и Роуэла из ВАХ на больших напряжениях.

### На защиту выносятся следующие положения:

- **2.** Снижение средней высоты туннельного барьера в переходах Nb/Al-AlN/Nb, по сравнению с оксидными Nb/Al-AlO $_{\rm x}$ /Nb, позволяет реализовывать туннельные структуры с плотностью тока выше 15 кA/см $^2$  при технологически достижимой толщине изоляционного слоя порядка 1 нм и дает возможность реализовывать параметр качества  $R_{\rm j}/R_{\rm n}$  не ниже 25.
- 3. Включение поглощающих слоев в конструкцию криогенного генератора гетеродина субТГц диапазона на основе распределенного туннельного перехода (РДП) для интегральных приемных систем позволяет увеличить параметр затухания электромагнитной волны внутри перехода α, вследствие чего на ВАХ в «резонансном режиме» работы генератора происходит подавление ступеней Фиске, подобно области вязкого течения вихрей. Это дает возможность производить непрерывную

- перестройку генератора в широком диапазоне частот.
- **4.** Полуфлаксонный генератор, впервые исследованный в данной работе, имеет полную совместимость с наиболее востребованными низкотемпературными сверхпроводящими схемами для радиотехнических приложений и квантовых вычислений (кубиты) благодаря малым размерам, низкому энерговыделению и отсутствию потребности во внешнем магнитном поле. Его мощность составила 10 нВт, ширина линии излучения 1 МГц.

#### Степень достоверности результатов и апробация работы

Полученные в результате экспериментов характеристики хорошо согласуются с расчетными теоретическими моделями. Методика прямого измерения СВЧ - излучения была апробирована на аналогичных структурах в составе реальных приемных устройств. Достоверность подтверждается соответствием результатам исследований подобных экспериментальных структур другими ведущими научными группами, работающим в области сверхпроводящей электроники.

# Личный вклад автора

Работы были выполнены M.E. Парамоновым В соавторстве сотрудниками ИРЭ им. В.А. Котельникова РАН. Парамоновым оптимизирована методика измерений вольт-амперных характеристик переходов с туннельными барьерами: Nb/Al-AlO<sub>x</sub>/Nb, Nb/Al-AlN/Nb и Nb/Al-AlN/NbN в широком диапазоне напряжений, вплоть до предельных 1.5 В, при температуре жидкого Проведен цикл измерений туннельных переходов в диапазоне плотностей тока от 0.1 до 30 кА/см<sup>2</sup>, выполнена обработка полученных зависимостей и оценка основных параметров туннельных барьеров, выполнено их сравнение и анализ. М.Е. Парамонов принимал участие в экспериментах по изучению спектральных характеристик различных модификаций РДП – генератора. Автором самостоятельно были изготовлены сверхпроводящие

СВЧ – микросхемы изучения свойств ДЛЯ полуфлаксонного генератора технологий. Все тонкопленочных технологические производились на оборудовании, входящим в УНУ «Криоинтеграл» (ИРЭ им. В.А. Котельникова), работоспособность и своевременный ремонт которого обеспечивались Максимом Парамоновым. Для также изготовления основе высококачественных туннельных переходов на ниобия, M.E. Парамоновым была разработана и собрана технологическая установка жидкостного анодного окисления тонких пленок. М.Е. Парамонов принимал участие в первых измерениях спектров излучения нового полуфлаксонного и обеспечивал техническую модернизацию измерительного исследований. В том числе им оборудования для проведения спроектирована и реализована криогенная головка для измерений по постоянному току двухсторонних кремниевых чипов размером 3 х 4 мм с 16 - пиновой контактной группой с каждой из сторон чипа. Автор также принимал участие в обработке всех экспериментальных результатов и подготовке всех научных публикаций.

# Публикации

Основные результаты проведенных исследований представлены в 17 работах по профилю диссертации: 4 статьи — в российских рецензируемых периодических изданиях (журналах) из перечня ВАК РФ (по состоянию на 18.03.2025), 5 статей опубликованы в журналах, входящих в международные реферативные базы данных и системы цитирования Web of Science и Scopus, 7 тезисов докладов — на международных и российских конференциях, 1 патент РФ на изобретение. Список работ приведен в конце автореферата.

# Структуры и объём диссертации

Диссертационная работа состоит из введения, 5 глав, заключения и списка используемой литературы. Общий объём исследования составляет 129 страниц, и содержит 96 рисунков. Список литературы содержит 85 наименований.

#### Основное содержание работы

**Во введении** обоснована актуальность темы диссертации и определены ее цели. Сформулированы научная новизна, практическая ценность работы и положения, выносимые на защиту.

В главе 1 обосновывается важность изучения субТГц области спектра (в частности, коротковолнового ТГц - излучения). Представлены современные методики и аппаратные решения для научного исследования данной области длин волн. Описывается методика когерентного приема ТГц – излучения и его детектирования при помощи гетеродинного преобразователя частоты. Показано, что классические резистивные смесители с присущим им дробовым и тепловым шумом, имеют ограничения из-за малой нелинейности на ВАХ используемых полупроводниковых туннельных переходов. В настоящее время, смесители на основе туннельных переходов сверхпроводник – изолятор – сверхпроводник (СИС) являются наиболее чувствительными входными элементами для когерентных приемников на частотах от 0.1 до 1.2 ТГц.

В данной главе водятся основные определения и термины, связанные с особенностями работы сверхпроводящих приборов, основанных на эффекте Джозефсона. Описывается процесс преобразования частоты СИС - смесителе. Описаны сложности, связанные согласованием СИС - смесителя со сверхпроводящей СВЧ – схемой, вследствие наличия емкости туннельного Дан обзор заметной перехода. существующих ТГц - генераторов, используемых в гетеродинной радиотехнике высокого разрешения. Выбор генератора, основанного на распределенном джозефсоновском переходе (РДП), качестве гетеродина схеме преобразователя частоты связан с его полной технологической совместимостью со сверхпроводящим смесителем и простотой изготовления. Отмечены сложности, связанные с невозможностью непрерывной перестройкой частоты при фиксированном токе смещения для традиционной конструкции РДП – генератора в резонансной области его ВАХ. Также дано краткое описание

нового класса сверхпроводящих РДП – генераторов, для работы которых не требуется внешнее магнитное поле, способные работать в качестве "on-chip" СВЧ – генераторов в квантовых схемах.

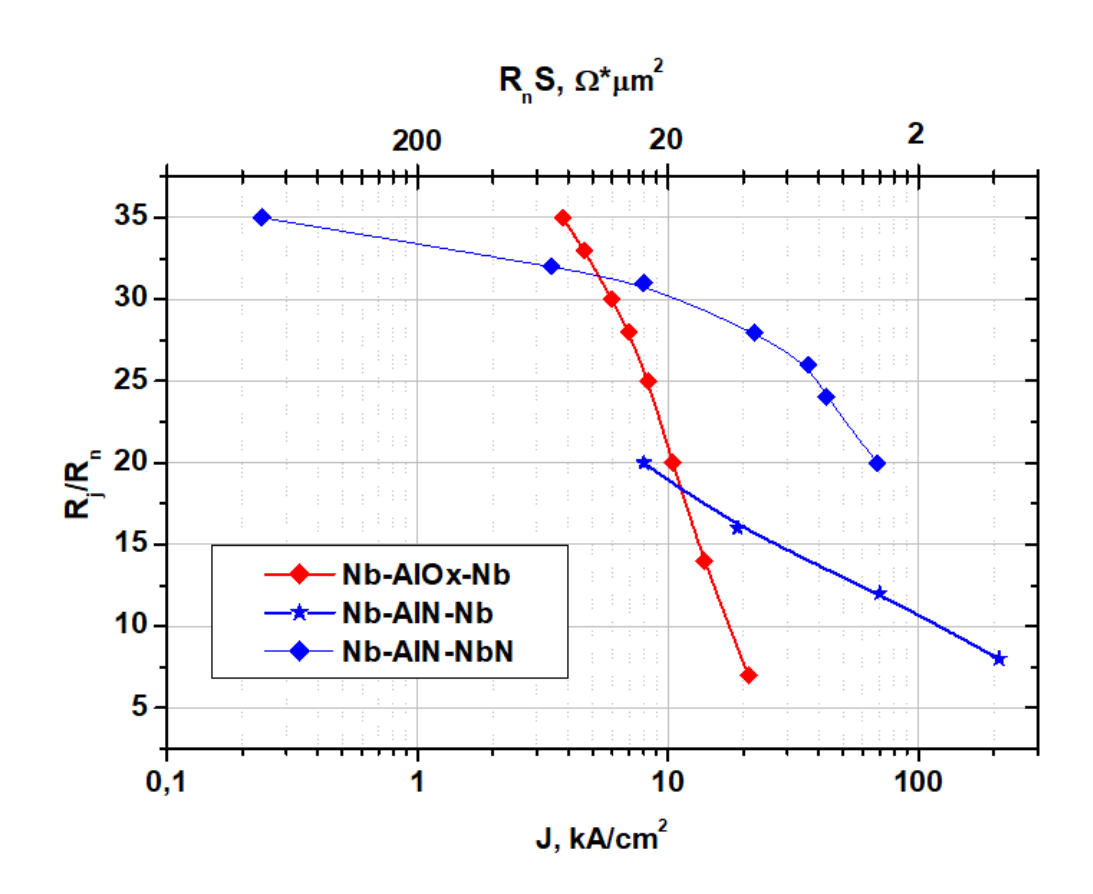
Глава 2 посвящена методике изготовления сверхпроводящих СВЧ – схем, основанных туннельных СИС – переходах, на И методам ИХ экспериментального исследования. Описан весь технологический ЦИКЛ основанный технологий. изготовления, методах тонкопленочных на Изготовление СВЧ – схемы кремниевой на подложке начинается проектирования и изготовления фотошаблона для контактной литографии. Далее, следуя технологическому маршруту, разработанному сотрудниками ИРЭ им. В.А. Котельникова РАН на основе технологии селективного травления ниобия и анодирования – SNEAP (Selective Niobium Etching and Anodization Process) последовательно производились операции послойного формирования топологии рабочей схемы. Используемые методики включали в себя: фотолитографию, методы магнетронного контактную распыления постоянному току и ВЧ, реактивное ионное травление и жидкостное анодирование. Для совершенствования технологического процесса и внедрения технологии SNAP (процесс селективного анодирования ниобия, на англ. Selective Niobium Anodization Process) автором работы была разработана и собрана технологическая установка контролируемого жидкостного анодного окисления тонких пленок; проведена серия экспериментов.

В данной главе также описан уникальный комплекс измерительного оборудования, разработанный сотрудниками ИРЭ им. В.А. Котельникова РАН, позволяющий проводить прецизионные измерения по СВЧ и постоянному току. Описаны методы измерения основных характеристик туннельных сверхпроводящих структур. Автором работы была спроектирована реализована криогенная головка для измерений по постоянному току двухсторонних кремниевых чипов размером 3 х 4.2 мм с 16 – пиновой контактной группой с каждой из сторон чипа.

Дан обзор оборудования для проведения низкотемпературных

спектральных измерений. Проводится описание гелиевого заливного криостата – его внутреннее электронное оснащение и навесное оборудование, включающее в себя систему частотной стабилизации и систему ФАПЧ.

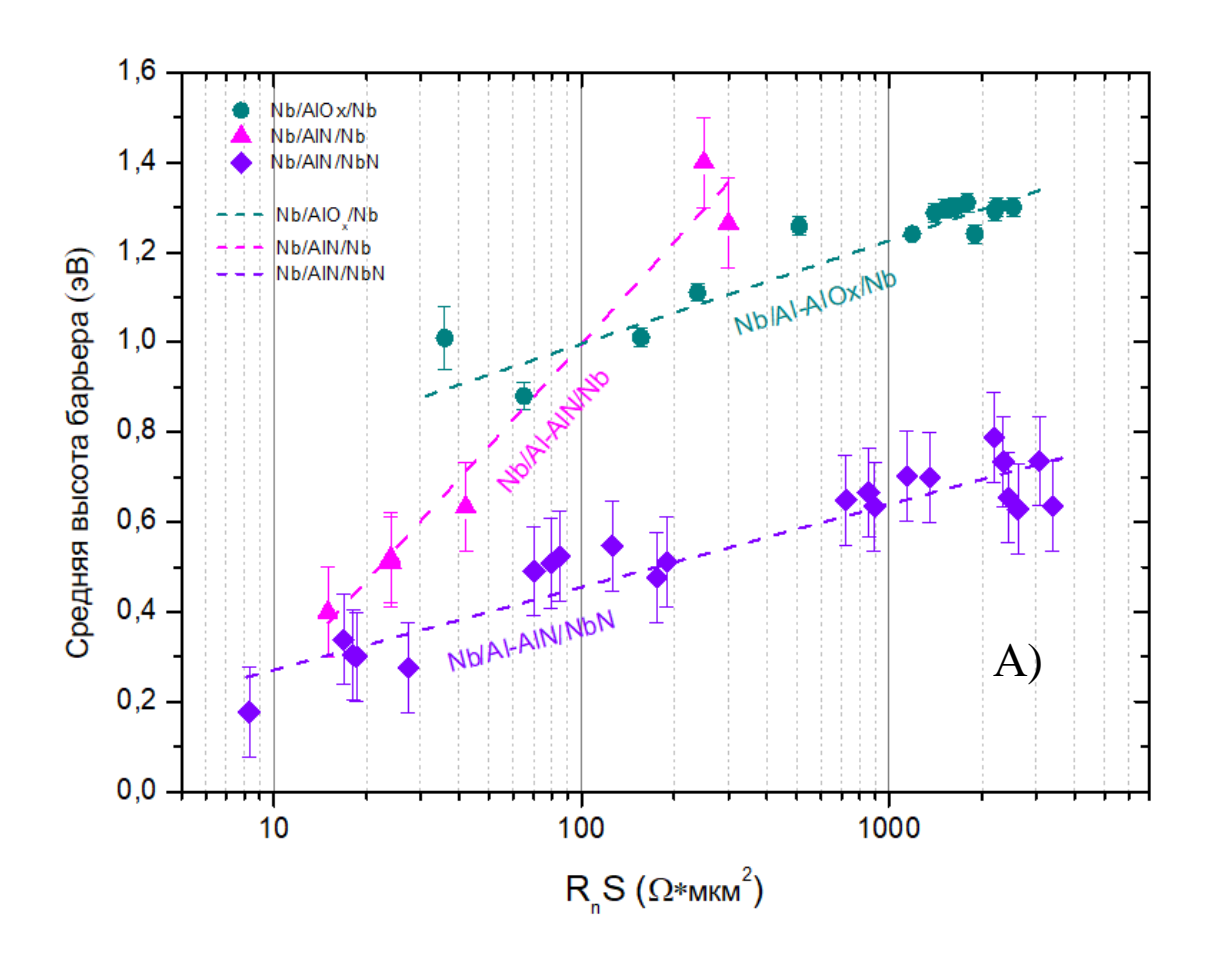
**Глава 3** посвящена оценке основных параметров туннельного барьера джозефсоновских переходов Nb/Al-AlO<sub>x</sub>/Nb, Nb/Al-AlN/Nb и Nb/Al-AlN/NbN в широком диапазоне значений плотностей тока (рисунок 1). Представлен метод оценки параметров туннельных барьеров (средней высоты  $\bar{\varphi}$  и толщины d), основанный на анализе BAX переходов.

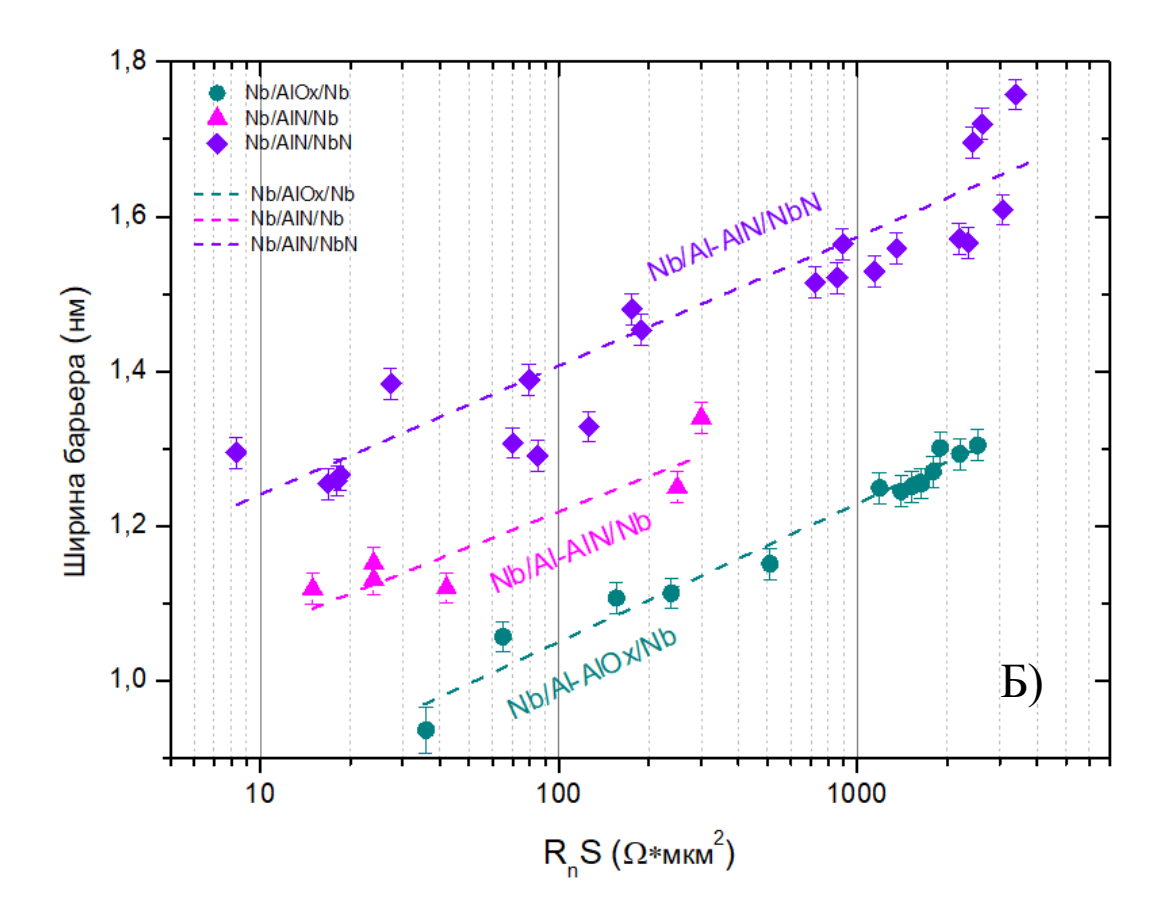


**Рисунок 1.** Зависимости отношения параметра качества  $R_f/R_n$  от значения плотности туннельного тока CUC — перехода J. Значение J для данных переходов рассчитано из BAX (величина щелевого напряжения  $V_g$  и нормального сопротивления  $R_n$ ). Взят из работы: М. Yu. Torgashin, et al.//IEEE Transactions on applied superconductivity. — 2007.  $N \ge 17$ . — C. 379.

Метод включает следующие этапы: экспериментальные измерения ВАХ в широком диапазоне напряжений, анализ зависимости дифференциальной проводимости перехода от напряжения, полученный при дифференцировании экспериментальных данных, аппроксимация полученных данных при помощи модели Симмонса и оценка параметров барьера итерационными методами. Метод позволяет прогнозировать параметры барьеров для проектирования СВЧ-устройств с высокой плотностью тока. К преимуществам данной методики можно отнести ее универсальность (так как она применима для разных типов туннельных барьеров), высокую точность и возможность адаптации для задач анализа материалов и оптимизации технологических процессов. Метод успешно применён для анализа структур, используемых в сверхпроводниковых смесителях и генераторах ТГц-диапазона.

Экспериментально определены зависимости средней высоты  $\bar{\varphi}$  (см. рисунок 2 A) и ширины d (см. рисунок 2 Б) туннельного барьера от параметра прозрачности туннельного барьера для каждого типа переходов.

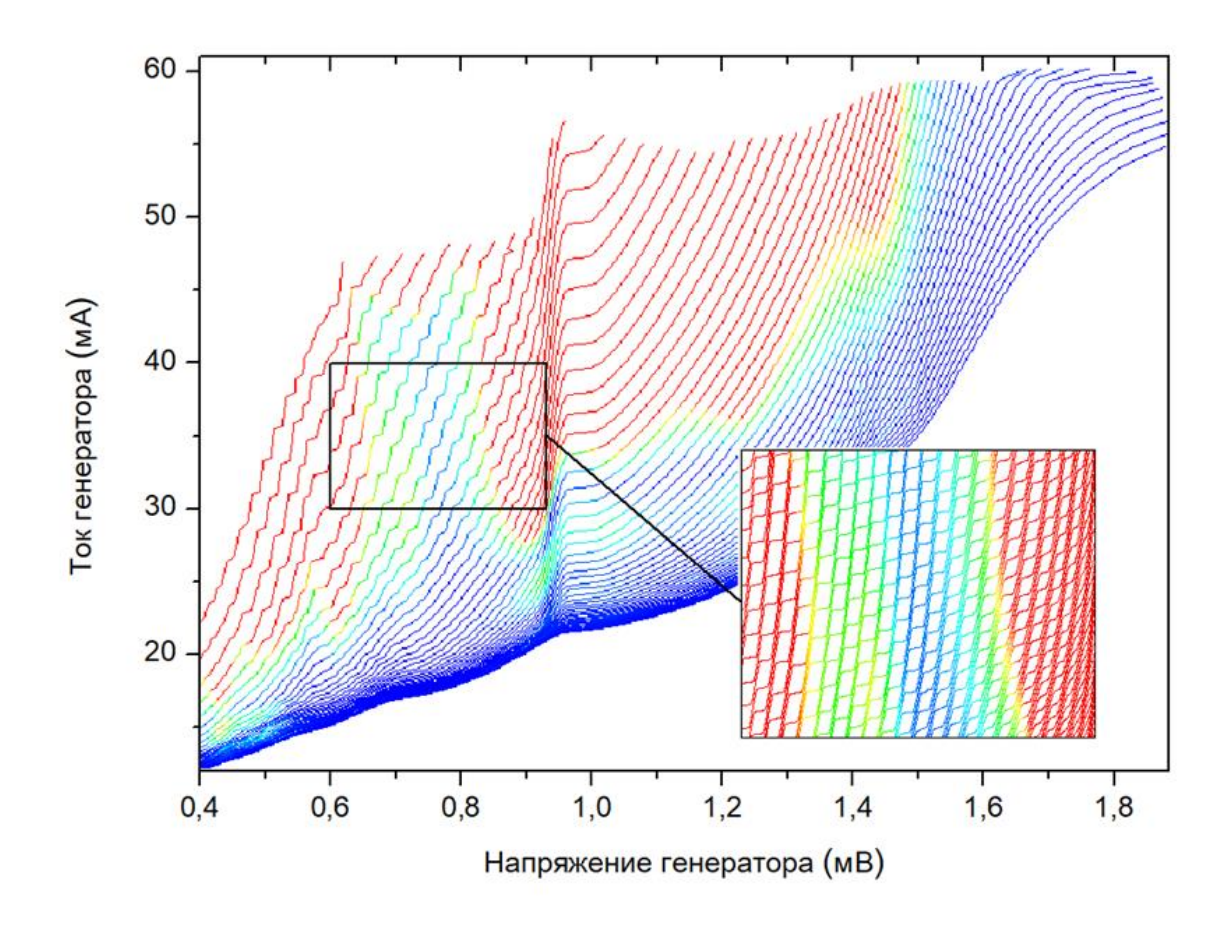




**Рисунок 2.** А) Зависимости средней высоты туннельного барьера от значения  $R_nS$ , кружки - туннельные переходы  $Nb/Al-AlO_x/Nb$ , треугольники - туннельные переходы Nb/AlN/Nb, ромбики - туннельные переходы Nb/AlN/NbN. Б) Зависимости ширины туннельного барьера от значения  $R_nS$ , кружки - туннельные переходы  $Nb/Al-AlO_x/Nb$ , треугольники - туннельные переходы Nb/AlN/Nb, ромбики - туннельные переходы Nb/AlN/NbN. Штриховые линии соответствующих цветов - линейные аппроксимации зависимостей

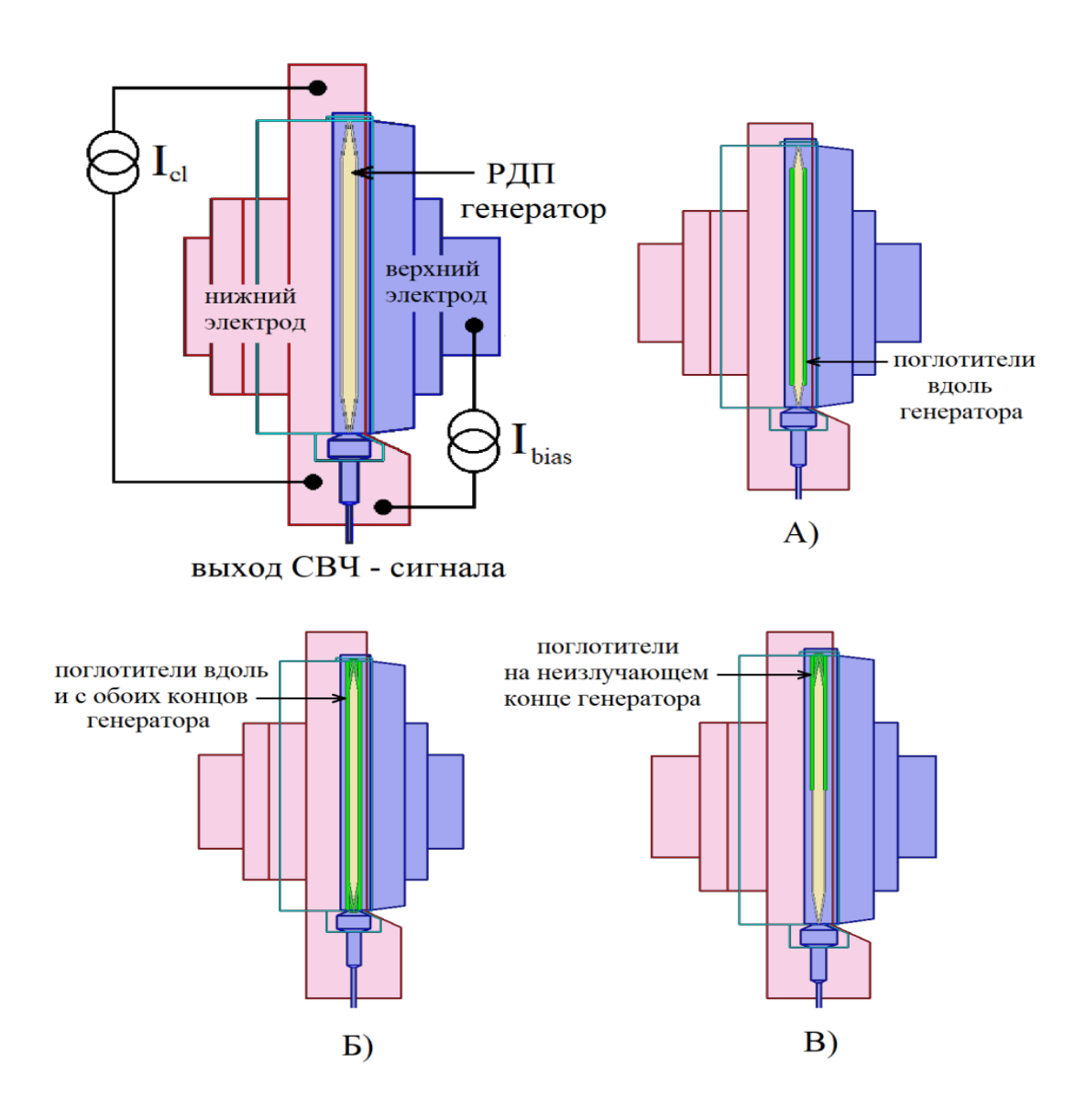
Снижение средней высоты туннельного барьера перехода с прослойкой из AlN на 0.5 эВ, по сравнению с барьером из AlO<sub>x</sub>, позволяет получать переходы с плотностью тока выше 15 кА/см<sup>2</sup> при технологически достижимой изоляционного слоя порядка 1 толщине HM, что дает возможность реализовывать параметр качества  $R_i/R_n$  не ниже 25. Показано, что в исследованном диапазоне  $R_nS$  от 10 до 2100  $\Omega^*$ мкм<sup>2</sup> (уменьшении плотности туннельного тока перехода J от 20 до 0.1 кA/см<sup>2</sup>) средняя высота и толщина туннельного барьера для переходов на основе Nb/Al-AlO<sub>x</sub>/Nb, Nb/Al-AlN/Nb и Nb/Al-AlN/NbN линейно (в полулогарифмическом масштабе) снижаются. Экспериментально наблюдаемая линейная зависимость параметров туннельного барьера от  $R_nS$  позволила оценить емкость переходов на основе структуры Nb/Al-AlN/NbN в области значений  $R_nS < 10~\Omega^*$ мкм², требуемых для создания малошумящих приемников и генераторов ТГц диапазона.

**Глава 4** описывает предложенный и реализованный метод подавления резонансов в субТГц сверхпроводящем генераторе гетеродина на основе РДП (семейство ВАХ которого представлено на рисунке 3).



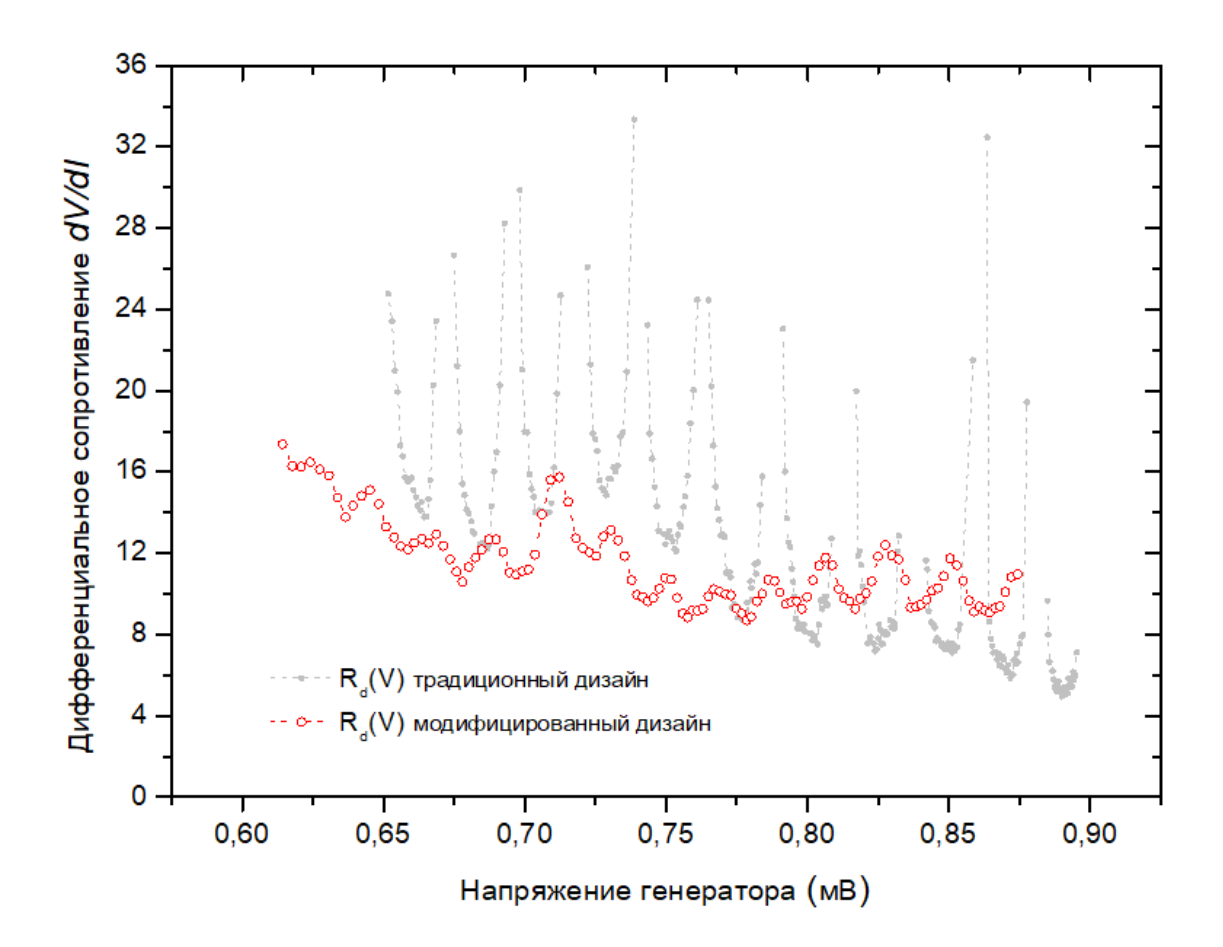
**Рисунок 3.** Семейство BAX генератора на основе структуры Nb/Al-AlOx/Nb измеренное при различных значениях магнитного поля. На увеличенной области показана структура резонансных Фиске ступеней измеренная с меньшим шагом по току  $I_{bias}$  и току  $I_{CL}$ .

Метод был основан на введении поглощающих слоев из нормального металла в области перекрытия электродов и на концах РДП. Были изготовлены и испытаны несколько модификаций конструкции РДП (см. рисунок 4). На примере конструкции с расположением поглощающих слоев на неизлучающем конце генератора продемонстрировано полное подавление резонансов при напряжениях  $V < V_a/3$ .



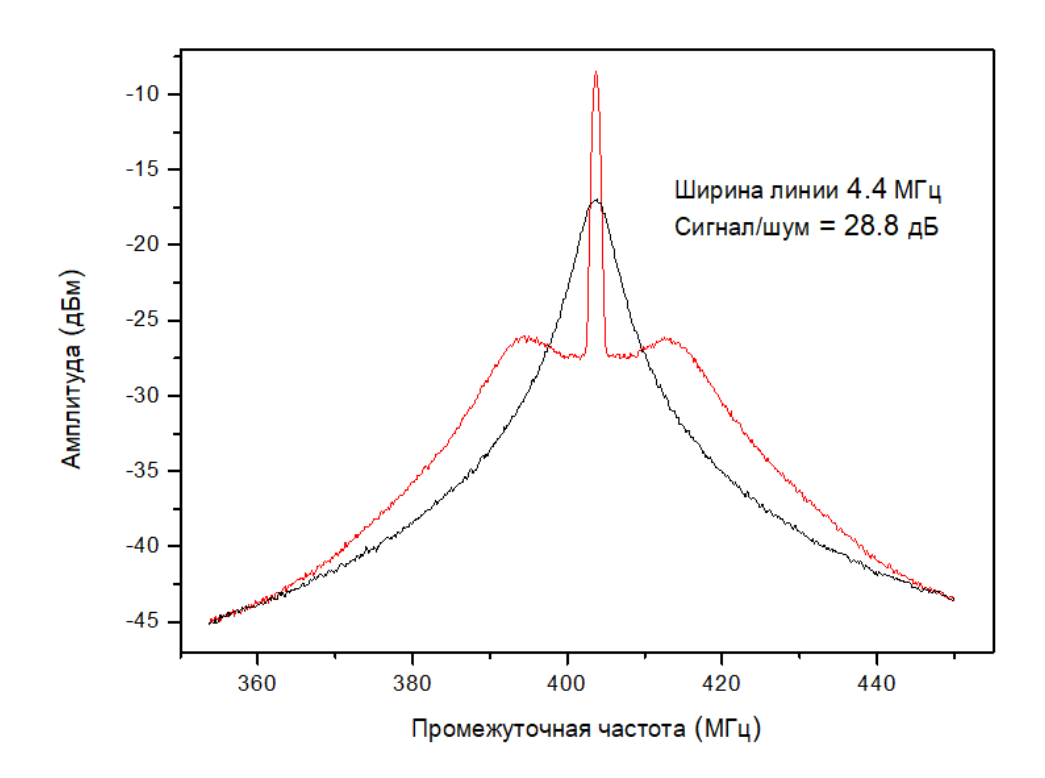
**Рисунок 4.** Структурные схемы сверхпроводящих РДП – генераторов с различным расположением поглощающих слоев. В левом верхнем углу показана стандартная схема РДП – генератора со схемой подключения управляющих токов. Модификации РДП – генератора с расположением поглощающих слоев: А) вдоль генератора; Б) по всему периметру генератора; В) со стороны неизлучающего конца.

Прямое сравнение зависимостей дифференциального сопротивления  $R_d(V)$  для двух конструкций генераторов (с поглощающими слоями и без них) показано на рисунке 5. Хорошо видно, что график  $R_d(V)$  для РДП с поглотителями стал более гладким без резких скачков. В результате появилась возможность непрерывной перестройки частоты сверхпроводящего генератора гетеродина в диапазоне частот 200-700 ГГц при произвольном токе смещения.

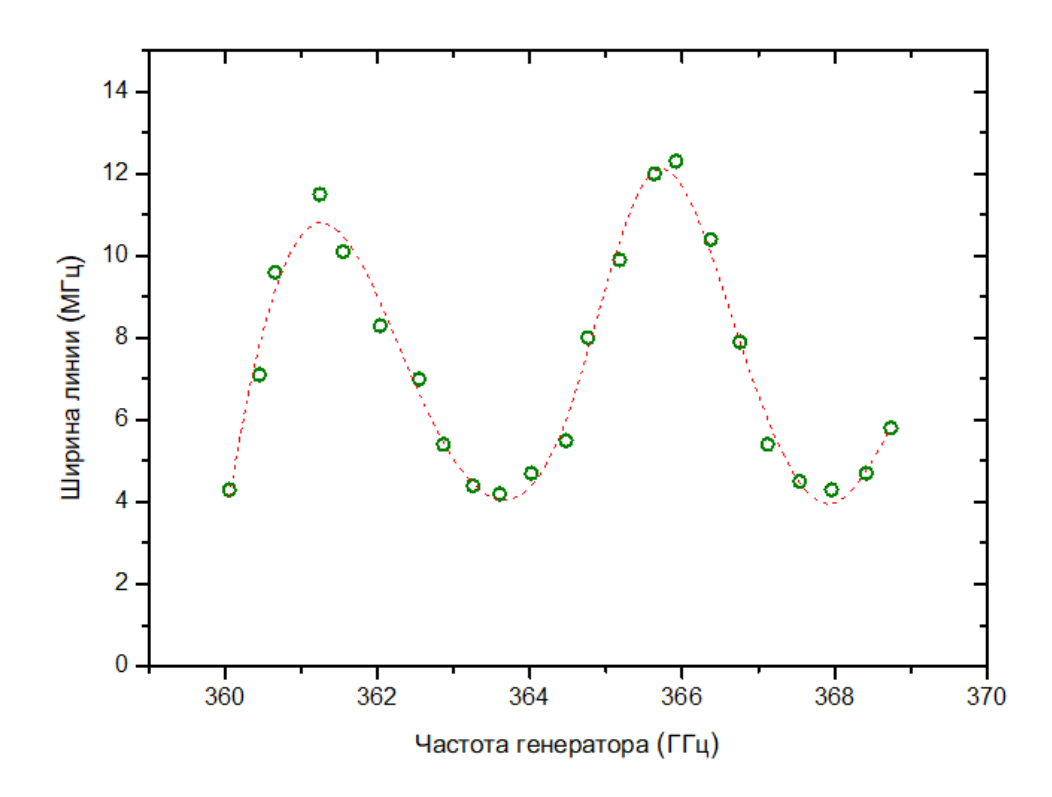


**Рисунок 5.** Графики зависимостей дифференциального сопротивления для традиционного РДП – генератора (серый цвет) и генератора с поглотителями.

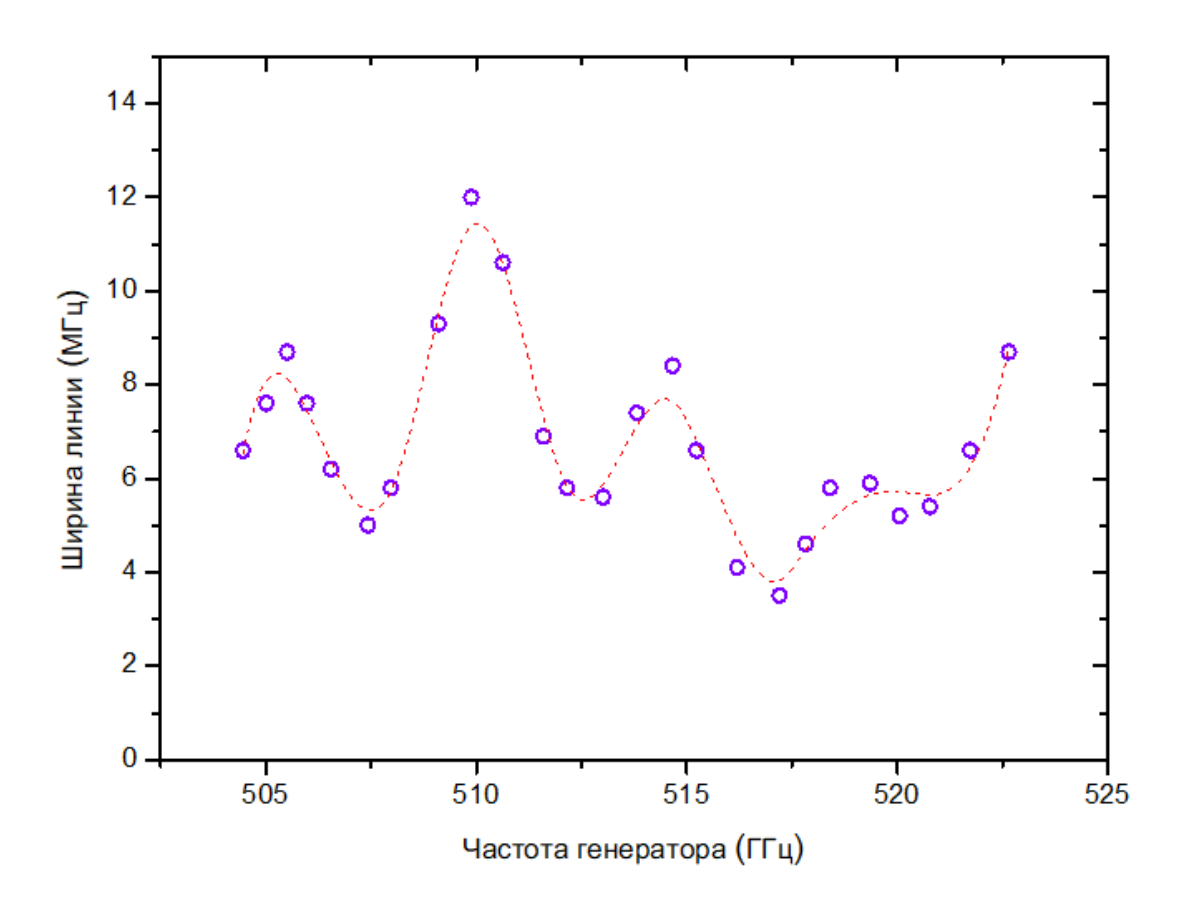
Далее продемонстрирован спектр излучения такого генератора и измерена ширина линии: она составила 4-12 МГц, что позволило реализовать фазовую синхронизацию РДП – генератора (рисунок 6) во всем диапазоне частот перестройки (см. например рисунок 7 и рисунок 8). Новая конструкция РДП - генератора позволяет эффективно подавлять резонансные особенности без существенного влияния на выходную мощность.



**Рисунок 6.** Спектр излучения РДП – генератора с поглотителями на ПЧ в одной из рабочих точек (черная кривая). Частота генератора составляла 363 ГГц. Спектр в режиме ФАПЧ (красная кривая)



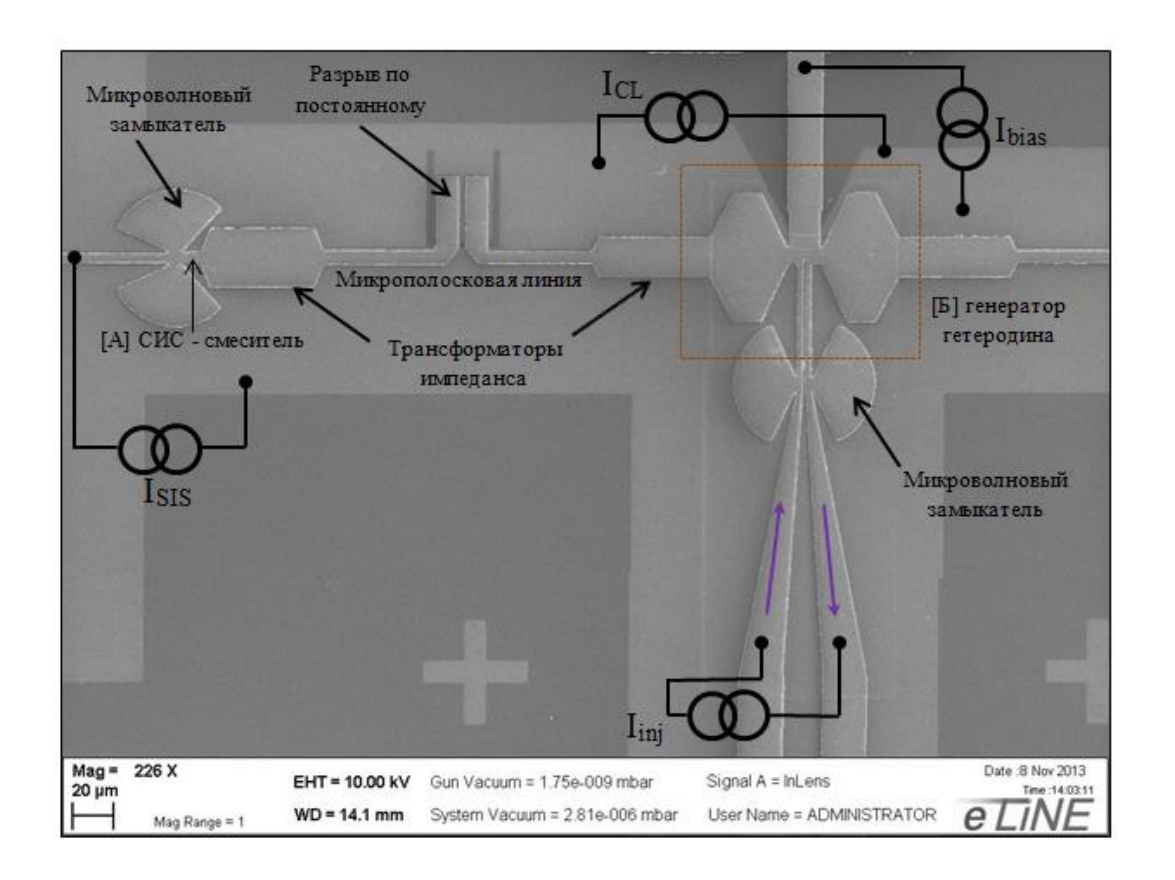
**Рисунок 7.** Зависимость ширины линии излучения  $PД\Pi$  – генератора с поглотителями от частоты перестройки в диапазоне частот 360 - 369  $\Gamma\Gamma$  $\mu$ .



**Рисунок 8.** Зависимость ширины линии излучения  $PД\Pi$  – генератора с поглотителями от частоты перестройки в диапазоне частот 504 -  $522\ \Gamma\Gamma$  $\mu$ .

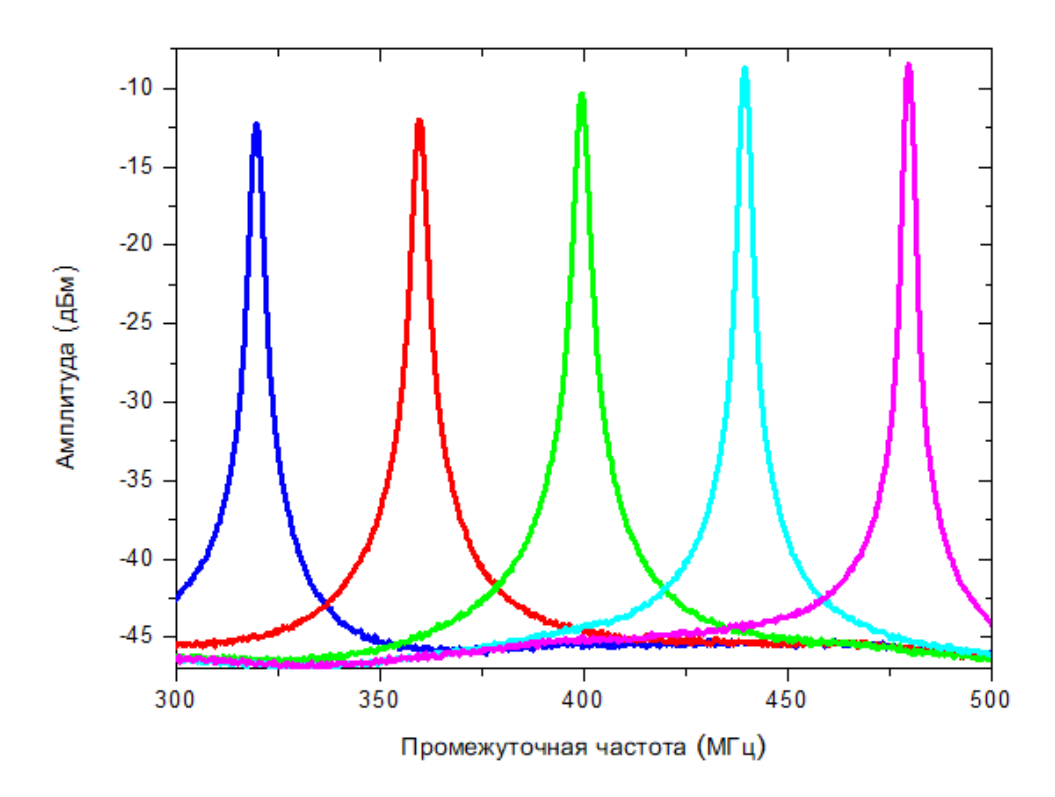
Глава 5 посвящена разработке сверхпроводящей интегральной микросхемы с распределенного джозефсоновского генератором гетеродина основе на перехода c двумя линиями токовых инжекторов (см. рисунок 9), предназначенной ДЛЯ исследования спектральных характеристик полуфлаксонного сверхпроводникового генератора субтерагерцового диапазона.

Принцип работы генератора основан на перевороте полуфлаксона, который спонтанно появляется на месте  $\pi$  – разрыва джозефсоновской фазы. Этот разрыв создается внутри РДП при пропускании через инжекторы постоянного тока. Конструктивно инжекторы расположены в верхнем слое РДП изготовленного по геометрии "overlap". Генератор соединен с детектирующим джозефсоновским туннельным переходом СИС, находящимся на том же чипе, через микрополосковую линию и согласующую структуру.

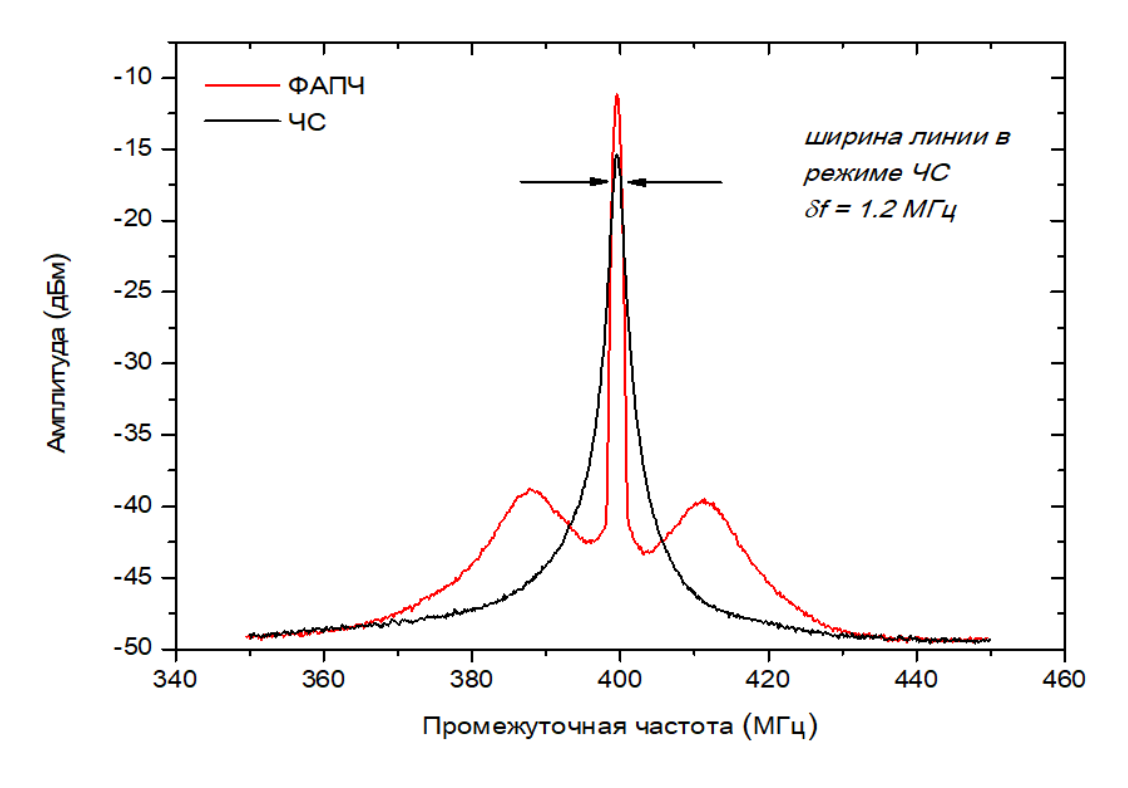


**Рисунок 9.** Фотография *CBЧ* — микросхемы для экспериментов с полуфлаксонным генератором (получена с использованием сканирующего электронного микроскопа).

Оценка мощности излучения, принятой детектором, составила примерно 8 нВт, что сравнимо с потребляемой мощностью генератора 100 нВт. Измерения ширины линии излучения генератора производилось в специальном заливном криостате, предназначенном для СВЧ измерений. На детектор подавался сигнал от опорного лабораторного СВЧ – генератора на частоте ~10 - 12 ГГц. Нужная гармоника опорного синтезатора и сигнал на основной частоте генератора смешивались на СИС - переходе. Полученный сигнал на разностной (промежуточной) частоте ~ 400 МГц усиливался и выводился на экран спектроанализатора (см. рисунок 10). Измеренная ширина линии излучения составляла 1 - 10 МГц, что характерно для геометрических (Фиске) фазовой резонансов. Были проведены успешные эксперименты ПО стабилизации линии излучения (рисунок 11).



**Рисунок 10.** Спектры излучения полуфлаксонного генератора при разных токах смещения, генератора  $I_{\text{bias}} = 338 - 345 \text{ мкA}$ .



**Рисунок 11.** Преобразованные вниз по частоте спектры излучения РДП – генератора с инжекторами на частоте 209.5 ГГц

- **В заключении** сформулированы основные результаты диссертационной работы:
  - 1. Впервые были проведены количественные оценки параметров барьеров (средней высоты и ширины) для трех основных типов сверхпроводящих туннельных структур используемых в схемах когерентных приемников ТГц - диапазона: Nb/Al-AlO<sub>x</sub>/Nb, Nb/Al-AlN/Nb и Nb/Al-AlN/NbN, изготовленных на одном технологическом оборудовании, входящим в УНУ «Криоинтеграл» (ИРЭ им. В.А. Котельникова). Определены зависимости основных параметров барьера от величины R<sub>n</sub>S для данных переходов в диапазоне плотностей тока от 0.1 до 30 кА/см<sup>2</sup>. Показано, что низкие значения высоты нитридных барьеров AlN при высокой плотности тока (по сравнению с барьерами из AlO<sub>x</sub>), позволяет реализовывать структуры с более толстыми барьерными слоями требуемой плотности тока; это, в свою очередь, открывает возможность изготовления переходов с высокой плотностью тока (больше 15 кA/см<sup>2</sup>) и малой утечкой при напряжениях ниже щелевого. Найденная в работе зависимость параметров туннельного барьера от величины R<sub>n</sub>S позволила производить оценку емкости СИС – переходов на этапе их изготовления, требуемых для создания малошумящих приемников субмиллиметрового диапазона.
  - 2. Разработан перестраиваемый ПО частоте криогенный генератор гетеродина субтерагерцового диапазона на основе распределенного туннельного перехода (РДП) для интегральных приемных систем. Плавная перестройка частоты генератора обеспечивается введением в его конструкцию поглощающих элементов, позволяющих увеличить параметр затухания электромагнитной волны α в РДП, что обеспечивает подавление ступеней Фиске в резонансном режиме работы. Ширина линии генерации при перестройке частоты изменялась в пределах 4 - 12 МГц, что позволило реализовать режим фазовой автоподстройки частоты (ФАПЧ).
  - 3. Впервые был разработан и изготовлен сверхпроводящий

высокочастотный генератор, основанный на перевороте полуфлаксона в длинном джозефсоновском переходе; и измерены его основные характеристики по постоянному току и СВЧ. Мощность излучения на детекторе находящемся на том же чипе составила 8 нВт и сравнима с потребляемой мощностью генератора 100 нВт. Ширина линии излучения генератора составила 1 МГц, реализован режим ФАПЧ.

# Публикации в журналах, вошедших в Перечень изданий, рекомендованных ВАК (по состоянию на 18.03.2025):

- 1. <u>Парамонов М.Е.</u>, Кошелец В.П., Голдобин Э.Б. Мощность излучения и ширина линии джозефсоновского полуфлаксонного генератора //Нелинейный мир. -2015. Т. 13. №. 2. С. 41-43
- 2. <u>Парамонов М.Е.</u>, Голдобин Э.Б., Кошелец В.П. Измерение ширины линии джозефсоновского генератора с инжекторами //Журнал радиоэлектроники. -2016. -№. 7. C. 4-4
- 3. <u>Парамонов М.Е.</u>, Филиппенко Л.В., Дмитриев П.Н., Фоминский М.Ю., Ермаков А.Б., Кошелец В.П.. Параметры туннельного барьера сверхпроводниковых структур на основе ниобия //Физика твердого тела. 2020. Т. 62. №. 9. С. 1370-1374
- 4. Чекушкин А.М., <u>Парамонов М.Е.</u>, Кошелец В.П. Подстройка параметров туннельного барьера СИС-перехода путем варьирования состава верхнего электрода // Физика твердого тела 2024. Т.66. №7. С. 1042-1046

# Публикации в зарубежных рецензируемых журналах, входящих в Международные реферативные базы данных и системы цитирования WOS и Scopus:

- 5. **Paramonov M.**, Fominsky M.Yu., Koshelets V.P., Neumeier B., Koelle D., Kleiner R., and Goldobin E. Radiation power and linewidth of a semifluxon-based Josephson oscillator //Applied Physics Letters. − 2014. − T. 104. − №. 6
- 6. Rudakov K. I., Khudchenko A.V., Filippenko L.V., <u>Paramonov M.E.</u>, Hesper R., Lima D.A., Baryshev A.M., Koshelets V.P. THz range low-noise SIS receivers for space and ground-based radio astronomy //Applied Sciences. − 2021. − T. 11. − №. 21. − C. 10087
- 7. Paramonov M.E., Filippenko L.V., Khan F.V., Kiselev O.S., Koshelets V.P.

- Superconducting Sub-Terahertz Oscillator with Continuous Frequency Tuning //Applied Sciences. 2022. T. 12. №. 17. C. 8904
- 8. K.I. Rudakov, M.E. Paramonov, P.N. Dmitriev, A.M. Baryshev, A.V. Khudchenko, V.P. Koshelets. Analysis of High-Frequency Parameters of Superconducting Planar Structures //Journal of Communications Technology and Electronics. 2016. T. 61. C. 1395–1399
- 9. <u>Paramonov M. E.</u>, Filippenko L. V., Dmitriev P. N., Fominsky M. Y., Koshelets, V. P. Determination of the Parameters of Tunneling Barriers of Superconducting Tunnel Structures for Submillimeter Receivers //Journal of Communications Technology and Electronics. 2019. T. 64. C. 1144-1148

# Тезисы докладов на конференциях:

- 10. В.П. Кошелец, А.А. Артанов, П.Н. Дмитриев, А.Б. Ермаков, К.В. Калашников, О.С. Киселев, Н.В. Кинев, М.Е. Парамонов, К.И. Рудаков, М.Ю. Торгашин, Л.В. Филиппенко, «Сверхпроводниковые интегральные приемники ТГЦ диапазона», Тезисы 1-ой Всероссийской Микроволновой конференции, Москва, 27-29 ноября 2013 г.
- 11. <u>Парамонов М.Е.</u> Голдобин Э.Б. Кошелец В.П., «Измерение ширины линии джозефсоновского генератора с инжекторами», Сборник докладов III Всероссийской микроволновой конференции, 25 27 ноября 2015, г. Москва, стр. 88-91, 2015.
- 12. К.И. Рудаков, П.Н. Дмитриев, **М.Е. Парамонов**, А.М. Барышев, А.В. Худченко, Р. Хеспер, В.П. Кошелец, Сверхпроводниковые приемные структуры для новых радиоастрономических проектов. XI Всероссийский семинар по радиофизике миллиметровых и субмиллиметровых волн, Нижний Новгород, 25 28 февраля 2019.
- 13. **М.Е. Парамонов**, Л.В. Филиппенко, П.Н. Дмитриев, М.Ю. Фоминский, А.Б. Ермаков, В.П. Кошелец, Параметры туннельного барьера сверхпроводниковых структур на основе ниобия, XXIV Междунар. симп., 10-13 марта 2020, Н.Новгород, т. 1, с. 97-98.
- 14. Pavel N. Dmitriev, <u>Maxim E. Paramonov</u>, Kirill I. Rudakov, and Valery P. Koshelets, "High-quality NbN-MgO-NbN SIS junctions and integrated circuits for THz applications", 25th International Symposium on Space Terahertz Technology ISSTT-2014, 27-30 April 2014, p. 60.
- 15. V.P. Koshelets, A.A. Artanov, P.N. Dmitriev, A.B. Ermakov, L.V. Filippenko,

- M.Yu. Fominsky, K.V. Kalashnikov, N.V. Kinev, O.S. Kiselev, M.E. Paramonov, K.I. Rudakov, and H.B. Wang, "Sub-terahertz Integrated Oscillators and Receivers", 10th International Symposium on Intrinsic Josephson Effects and THz Plasma Oscillations in High-Tc Superconductors (THz-PLASMA 2016), Nanjing, China, October 09-12, 2016, Abstract Book, p. 58.
- 16. P.N. Dmitriev, L.V. Filippenko, K.V. Kalashnikov, M.E. Paramonov, K.I. Rudakov, and V.P. Koshelets, "Superconducting Local Oscillators; Development and Optimization", 27th International Symposium on Space Terahertz Technology, 12-15 April 2016, Nanjing, China, Abstract Book, p. 122.

# Патенты автора:

17. <u>М.Е. Парамонов</u>, Л.В. Филиппенко, М.Ю. Фоминский, В.П. Кошелец. "Криогенный перестраиваемый генератор гетеродина субтерагерцового диапазона для интегральных приемных систем".

Патент No. 2638964; Дата государственной регистрации 19.12.2017.